

鉄筋コンクリート部材のモーメントと曲率の関係について

東北大学 学生員 ○阿部美紀也
 東北大学 正会員 鈴木 基行
 東北大学 学生員 近藤 哲亘

1. まえがき 本研究は、鉄筋コンクリート構造物の限界状態設計法の確立の為に明確にしなければならない諸性質のうち、塑性ヒンジ領域における諸性状とその回転限界、及び部材の韌性について、鉄筋コンクリート矩形等截面を対象として実験的に調べることを目的としたものである。これらの諸性状は種々の要因により影響を受けると考えられるが、本実験では特に、コンクリート圧縮強度(f_c)、主鉄筋比(P_f)、横方向拘束筋量(P'')を変動要因として取り上げてみた。

2. 実験概要 (1) コンクリート及び鉄筋 コンクリートの目標圧縮強度は、 $200, 300 \text{ kg/cm}^2$ の2種とし、鉄筋は、主鉄筋にSD35、横方向拘束筋、スターラップにSR24 #9を用いた。

(2) 供試体 寸法はすべて同一（スパン150cm；断面 $16 \times 22 \text{ cm}$ 、有効高さ18cm）とし、スパン中央断面には梁が左右対称に変形するよう深さ1cmのノッチを入れた。支点は両端とも可動支承である。図-1に供試体寸法・配筋の一例を示す。なおせん断スパンには、せん断破壊が生じないように腹鉄筋を十分配置した。

(3) 載荷装置及び試験方法 載荷は2点対称載荷とし、最大耐力を以降まで安定して測定できるよう、図-2に示したように変形制御用のバネ（バネ定数約 1 ton/cm ）4本を配置し、供試体と同時に載荷した。また載荷速度は、断面降伏まではスパン中央のたわみが 1 mm 分、降伏後は 2 mm 分となるようにした。なお、供試体のたわみをスパン中央と曲げスパン両端にセットした変位計で、コンクリート圧縮域及び主鉄筋の歪を貼付したストレインゲージにより、測定した。

3. 実験結果及び考察 表-1に実験結果の一覧を示す。韌性率ηは、たわみ測定値から差分法により求めた降伏時及び終局時の曲率（φ_{sf} φ_{rf}）の比で与えられ、平均塑性回転量θ_{pl}は、曲げ区間内で一様の塑性回転が生じると仮定して求めた値である。また、U_{exp}は梁の単位長さ当たりの吸収エネルギーの実験値（M-φ曲線の面積）を示し、U_{cal}はM-φ関係を完全弾塑性体と仮定して求めた計算値（U_{cal} = M_u(φ_u - $\frac{1}{2}$)）を示す。

(1) 曲げモーメントと曲率の関係について 図-3にM-φ関係の一例を示す。これには、コンクリート及び鉄筋の応力-歪曲線を図-4のように仮定して求めた値もプロットしてある。断面降伏までは実験値と計算値がよく一致しているが、それ以後は実験値の方が曲げ耐力が大きい。これは鉄筋の歪硬化によるものであろう。また横方向拘束筋がない場合は、鉄筋指数の増加と共に部材降伏後の耐力の増加が少くなり、最大耐力以後の減少傾向が顕著になることがわかる。

鉄筋指數η 梁の性状を表わすのに便利な物理量であり、次式で定義される。

$$\left. \begin{aligned} \eta &= P f_{sf} / f_c \\ \eta &= (P f_{sf} - P' f'_{sf}) / f_c \end{aligned} \right. \begin{array}{l} : \text{単鉄筋断面} \\ : \text{複鉄筋断面} \end{array}$$

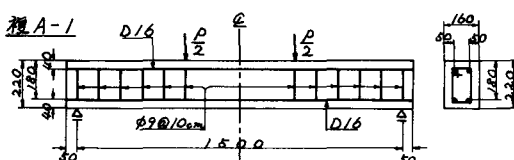


図-1 供試体寸法・配筋例
(単位 mm)

○種A-2では曲げスパン内に横方向拘束筋が入る

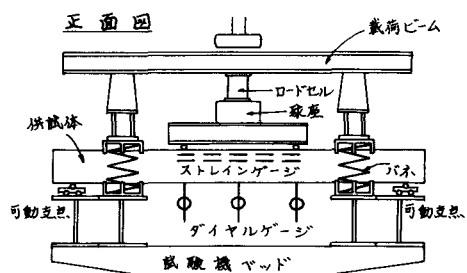


図-2 載荷装置の原理図

(2) 塑性回転量、吸収エネルギー、韌性について

複数筋断面の梁は、塑性回転量、吸収エネルギー、韌性率いずれもが単筋断面の梁より大きい。またいずれの断面とも横方向拘束筋がない場合、鉄筋指指数が大きい程これらの諸量が小さくなるが、拘束筋を入れることにより改善されることがわかる。特に複数筋断面の場合には、圧縮鉄筋の座屈長さを制御する上でも、横方向拘束筋の効果には大きいものがあるだろう。また両断面とも、鉄筋指指数が小さい程横方向拘束筋の効果が大きいこともわかった。コンクリート強度については、その増加が塑性回転量、吸収エネルギー等の大きな増加に結びつかないことがわかったように、鉄筋指指数や横方向拘束筋に比べて、与える影響は小さいようである。

4.あとがき 本実験で取り上げた要因の他には、リテラル筋の降伏強度、せん断力の有無とその大きさ、梁の有効高さ、供試体寸法、載荷速度等が考えられる。部材の挙動の全体的な把握のためには、これらについての検討も必要であろう。

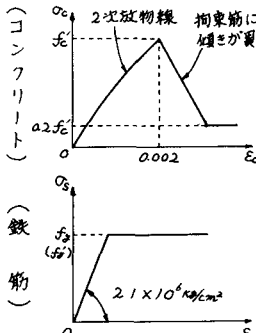


図-4 計算用
応力-歪曲線

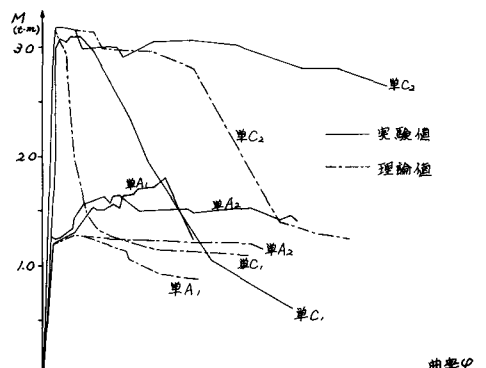


図-3 単筋筋 A, C における M-Φ 関係

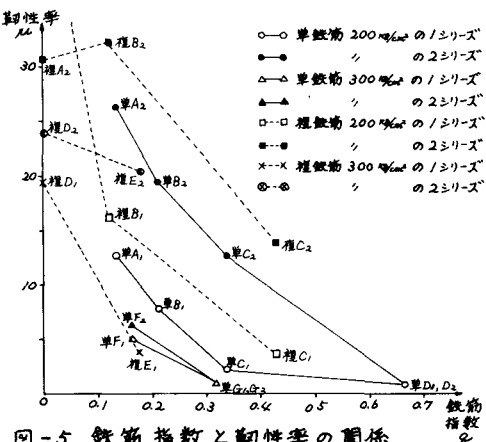


図-5 鉄筋指指数と韌性率の関係

表-1 実験結果一覧表

供試体番号	引張主筋	圧縮主筋	横方向拘束筋	コンクリート	鉄筋指指数	抵抗モーメント	抵抗曲げモーメント	絞り曲げモーメント	曲率による韌性率	吸収エネルギー	吸収エネルギー	平均塑性回転角	横方向拘束筋の当りの增加量			
						M _o cal	M _o act	M _o act	μ = Φ _o /Φ _{act} (10%)	U _{cal} (10%)	U _{act} (10%)	G _u (kg/cm ²)	(kg/cm ²)			
単A-1	1D16 0.52	—	—	—	8	191	0.136	1.242	1.225	1.850	1.51	13.21	491	412	638	
単A-2	"	—	—	φ9-8cm	1.36	"	"	"	1.285	1.555	1.21	26.44	742	734	1170	390
単B-1	2D16 1.04	—	—	—	2.49	0.209	2.360	2.376	2.855	1.20	7.80	317	293	351	—	
単B-2	"	—	—	φ9-12.5cm	0.87	"	"	"	2.393	2.689	1.12	19.65	661	672	590	379
単C-1	2D19 1.52	—	—	—	2.20	0.338	3.093	3.120	3.130	1.00	2.22	211	207	119	—	
単C-2	"	—	—	φ9-5.5cm	1.98	"	"	"	3.189	3.107	0.97	12.89	1036	1032	800	343
単D-1	2D25 2.93	—	—	—	1.91	0.673	3.305	4.467	4.467	1.00	1.00	82	—	—	—	
単D-2	"	—	—	φ9-6.25cm	1.75	"	"	"	4.588	4.588	1.00	1.00	103	—	—	—
単F-1	2D16 1.04	—	—	—	3.22	0.162	2.429	2.505	2.890	1.15	5.17	2.94	2.97	227	—	
単F-2	"	—	—	φ9-8.33cm	1.31	"	"	"	2.435	3.020	1.26	6.36	404	364	306	60
単G-1	2D22 2.07	—	—	—	3.27	0.318	4.313	4.270	4.533	1.06	1.14	87	87	11	—	
単G-2	"	—	—	φ9-10cm	1.09	"	"	"	4.064	4.377	1.08	1.13	119	131	14	3
複A-1	2D16 1.04	2D16 1.04	—	—	2.06	0	2.295	2.332	2.224	1.38	46.52	1721	1611	1320	—	
複A-2	"	"	—	φ9-10cm	1.09	"	"	"	2.337	3.261	1.40	30.74	1173	1075	885	—
複B-1	2D19 1.52	2D16 1.04	—	—	2.87	0.119	3.135	3.251	3.470	1.07	16.38	1542	1515	1076	—	
複B-2	"	"	—	φ9-14.6cm	0.66	"	"	"	3.247	3.870	1.19	32.37	2553	2425	1625	836
複C-1	2D25 2.93	2D16 1.04	—	—	1.77	0.431	4.879	4.596	4.910	1.07	4.04	214	218	94	—	
複C-2	"	"	—	φ9-12.5cm	0.87	"	"	"	4.746	4.710	0.99	13.96	1332	1349	681	673
複D-1	2D16 1.04	2D16 1.04	—	—	2.97	0	2.382	2.363	2.801	1.19	19.85	1637	1606	1423	—	
複D-2	"	"	—	φ9-10cm	1.09	"	"	"	2.364	3.120	1.32	24.19	1353	1230	1061	—
複E-1	2D22 2.07	2D16 1.04	—	—	2.86	0.180	4.380	4.439	4.940	1.11	4.25	472	454	207	—	
複E-2	"	"	—	φ9-12.5cm	0.87	"	"	"	4.627	4.752	1.03	20.99	2464	2417	1265	1212